

FROM RESEARCH TO INDUSTRY



Stabilité des fluorures de protactinium en solution acide :
étude par Dynamique Moléculaire Quantique

Bruno Siberchicot

CEA /DAM/DIF

Jean Aupiais (DASE) et Claire Le Naour (IPN Orsay)

www.cea.fr

**25^e Congrès Général
de la Société Française
de Physique** 



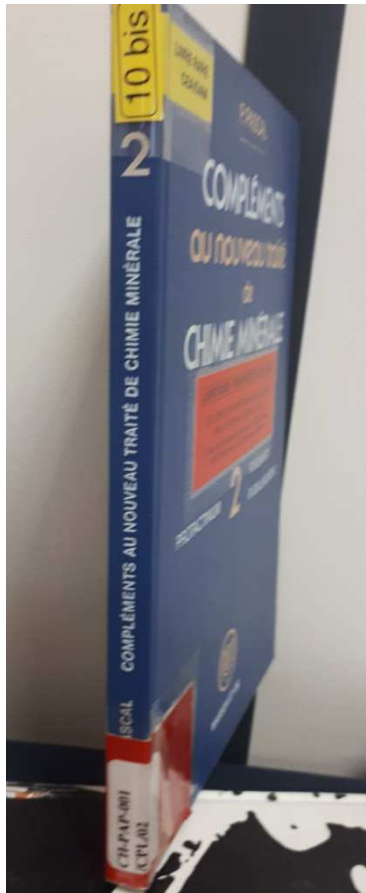
Quid de l'existence et de la stabilité de l'ion PaF_4^+ en solution?

PaF_8^{3-} , PaF_7^{-2} , PaF_6^{-1} , PaF_5 ,... PaF_4^+ , PaOF_5^{2-} ... PaO_2F ,...

De la physique du solide à la chimie des solutions
→ **Dynamique Moléculaire Quantique à 298 K**
possibilité d'évolution libre du système
géométrie, Hydratation.....

PROTACTINIUM

170 pages



Pa: premier actinide avec électron $f\ 5f26d7s2$
 colonne de *Nb* et *Ta* (et *Db*) propriétés proches

1913: *K. F. Fajans at O.H. Göhring*

1918: *O. Hahn et L. Meitner*

Milieu naturel: sol, roches, eaux (0,1 pCi/g)

Toxicité $\text{Pa}^{231} > \text{Pu}^{238}$

en solution un seul degré d'oxydation stable Pa(V)

solutions complexantes: oxo ou hydroxo

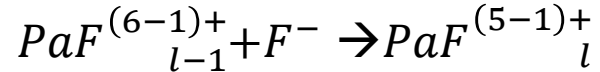
→ Mélanges d'espèces plus ou moins complexés et hydrolysées

★ 58 140.12 Ce	59 140.9077 Pr	60 144.24 Nd	61 (145) Pm	62 150.3 Sm	63 151.95 Eu	64 157.25 Gd	65 158.9254 Tb	66 162.50 Dy	67 164.9304 Ho	68 167.26 Er	69 168.9342 Tm	70 173.04 Yb	71 174.967 Lu
3699 3.4 1071 6.78 [Xe]4f ¹ 5d ¹ 6s ² Cerium	3785 3.4 1204 6.77 [Xe]4f ⁰ 5d ² Praseodymium	3341 3 1204 7.00 [Xe]4f ⁰ 5d ³ Neodymium	3785 3 1204 6.475 [Xe]4f ¹ 5d ² 6s ² Promethium	2064 3.2 1090 5.26 [Xe]4f ² 5d ³ Samarium	1870 3.2 1585 7.54 [Xe]4f ³ 5d ⁴ Europium	8539 3 827 7.95 [Xe]4f ⁴ 5d ⁵ Gadolinium	3496 3.4 1630 8.27 [Xe]4f ⁵ 5d ⁶ Terbium	2835 3 1743 8.80 [Xe]4f ⁶ 5d ⁷ Dysprosium	2968 3 1795 9.05 [Xe]4f ⁷ 5d ⁸ Holmium	3136 3.2 9.33 6.98 [Xe]4f ⁸ 5d ⁹ Erbium	2220 3.2 1097 9.64 [Xe]4f ⁹ 5d ¹⁰ Thulium	1467 3.2 1097 9.84 [Xe]4f ¹⁰ 5d ¹¹ Ytterbium	3668 3 1936 10.07 [Xe]4f ¹¹ 5d ¹² Lutetium
★ 90 232.0391 Th	91 231.0359 Pa	92 238.029 U	93 237.0482 Np	94 (244) Pu	95 (243) Am	96 (247) Curium	97 (247) Bk	98 (251) Cf	99 (252) Es	100 (257) Fm	101 (258) Md	102 (259) No	103 (260) Lr
5061 4 2028 11.7 [Rn]5f ⁰ 6d ⁷ s ² Thorium	4407 5.4 1405 18.90 [Rn]5f ⁰ 6d ⁷ s ² Protactinium	3503 6.5-4.3 910 20.4 [Rn]5f ⁰ 6d ⁷ s ² Uranium	2880 5.5-4.3 913 19.8 [Rn]5f ⁰ 6d ⁷ s ² Neptunium	1340 13.6 913 13.51 [Rn]5f ⁰ 6d ⁷ s ² Plutonium	1340 5.5-4.3 913 13.51 [Rn]5f ⁰ 6d ⁷ s ² Americium	1340 5.5-4.3 913 13.51 [Rn]5f ⁰ 6d ⁷ s ² Curium	900 4.3 [Rn]5f ¹ 6d ⁷ s ² Berkelium	900 4.3 [Rn]5f ¹ 6d ⁷ s ² Californium	900 4.3 [Rn]5f ¹ 6d ⁷ s ² Einsteinium	900 4.3 [Rn]5f ¹ 6d ⁷ s ² Fermium	900 4.3 [Rn]5f ¹ 6d ⁷ s ² Mendelevium	900 4.3 [Rn]5f ¹ 6d ⁷ s ² Nobelium	900 4.3 [Rn]5f ¹ 6d ⁷ s ² Lawrencium

Milieu fluorhydrique $10^{-3} \text{M} < \text{HF} < 6-8 \text{ M} \rightarrow \text{PaF}_7^{2-}$
 $> 8 \rightarrow \text{PaF}_8^{3-}$

$< 10^{-3} \text{M} \rightarrow$ oxo-fluoro ou
hydroxo-fluoro

domaines de stabilités étroits



2 fluorocomplexes purs stables: PaF_8^{3-} , PaF_7^{2-}

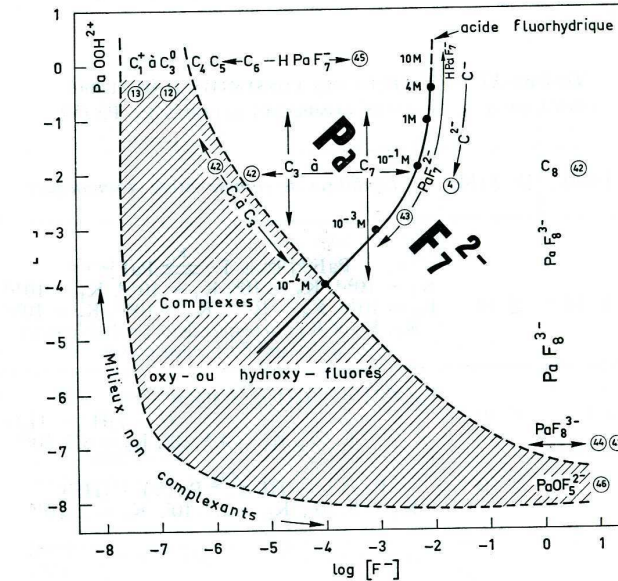


FIG. 15. — Ensemble des espèces de Pa(V) proposées pour expliquer le comportement du protactinium pentavalent en milieux fluorhydriques. Les références sont indiquées par les nombres inscrits dans un cercle (HF, $pK \sim 4$, $[\text{HF}_2]/[\text{HF}][\text{F}^-] = 4$) (d'après R. GUILLAUMONT et al. (1)).

→ Série

PaF_9^{4-} , PaF_8^{3-} , PaF_7^{2-} , PaF_6^- , PaF_5^0 , PaF_4^+ , PaOF_5^{2-} , PaOF_4^- , PaOF_3^0 ,
 PaOF_2^+ , PaOF^{2+} , PaO_2F^0 , $\text{PaO}_3\text{F}^{2-}$, $\text{PaO}_4\text{F}^{4-}$, $\text{PaO}_5\text{F}^{5-}$...

MÉTHODE DE CALCUL

Code ABINIT DFT-GGA

Formalisme: ondes planes PAW

Échange-corrélation: PBE

Effets scalaires relativistes + CSO

Relaxation: à 0K → H dissociation

Dynamique: 298K, d=1 → H formation

Solvatation: 96 molécules d'eau
→ > 2^{ème} sphère d'hydratation

Ions chargés: corrections électrostatiques

$$E^\infty = E(L) + \frac{1}{2} \frac{\alpha q^2}{\epsilon L \cdot 4\pi}$$

→ 5000/7000 pas Δt=0,48 fs

STRUCTURES À 0 K, DISSOCIATION

$$\Delta H_{\text{diss}} = H(\text{PaO}_n\text{F}_m) - H(\text{Pa}) - \frac{1}{2}n H(\text{O}_2) - H(\text{F})$$

→ Exp: PaF_5 : $\Delta H_{\text{diss}} = -741$ kcal/mol

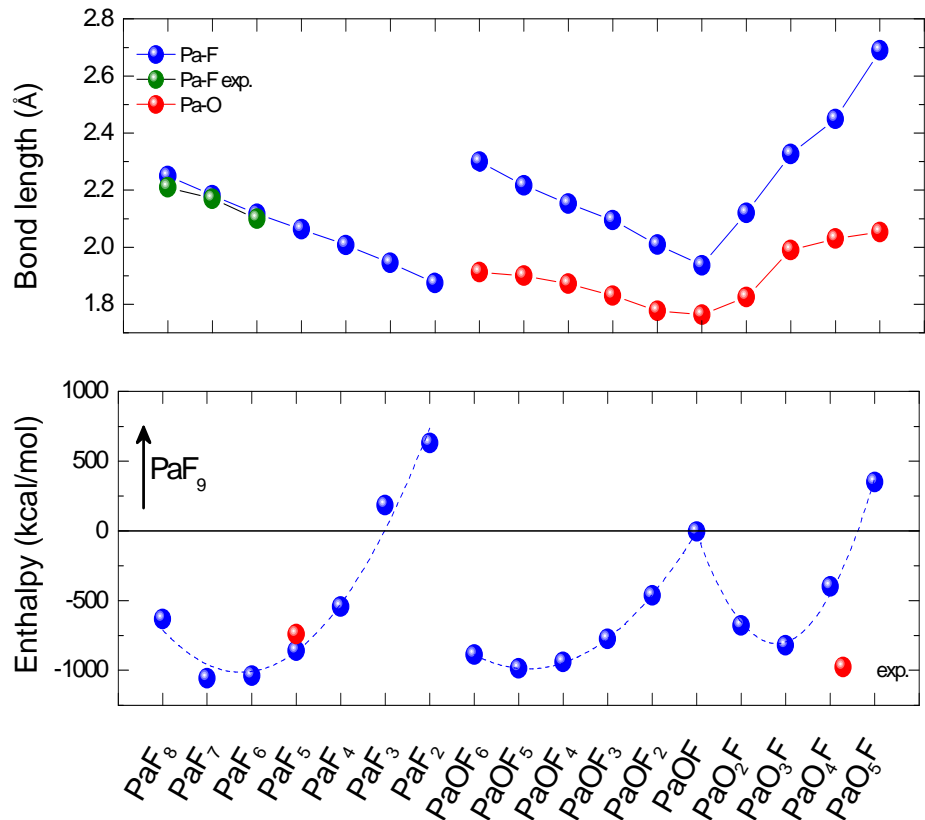
→ 3 séries:

PaF_8 , PaF_7 , PaF_6 , PaF_5 , PaF_4
 PaOF_5 , PaOF_4 , PaOF_3 , PaOF_2 , PaOF
 PaO_2F , PaO_3F ...

PaF_9 $\Delta H_{\text{diss}} > 0$ instable

→ Longueurs de liaisons d ↓ pour ΔH_{diss} ↑
Série: + d court → - stable

minimum pour PaOF $\Delta H_{\text{diss}} = -4$ kcal/mol



Accords calculs ADF D. Guyaumont (2009)

DYNAMIQUE MOLÉCULAIRE À 298 K, FORMATION

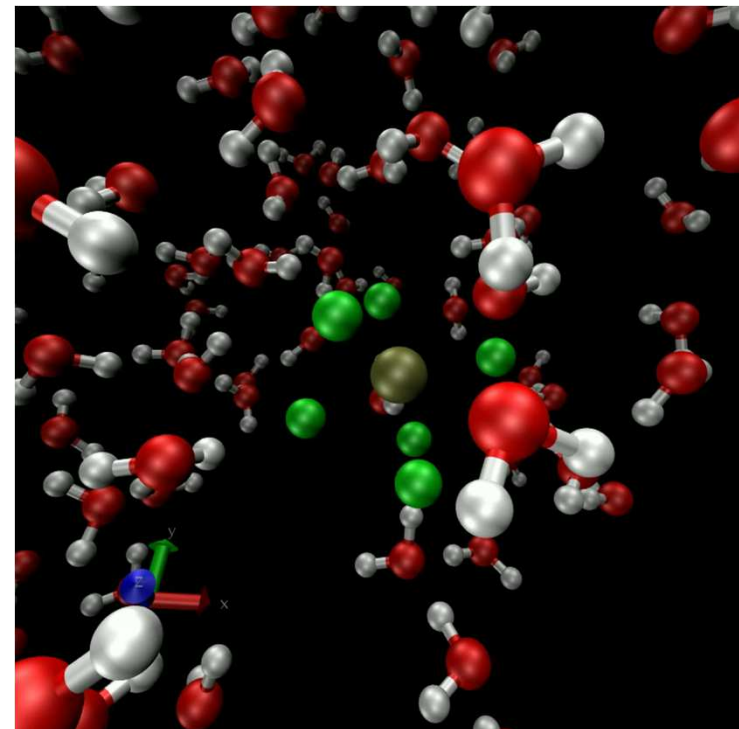
Pa^{\vee} → coordination 8 dans l'eau
max pour les ions

Sphère de coordination: fluor, oxygène et H_2O

$D^1 (\text{Pa-OH}_2) \approx 2,41 \text{ \AA}$, $D^2 (\text{Pa-OH}_2) \approx 4,6 \text{ \AA}$

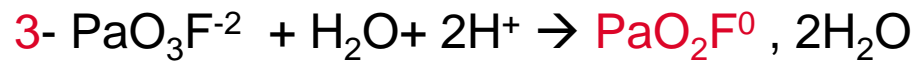
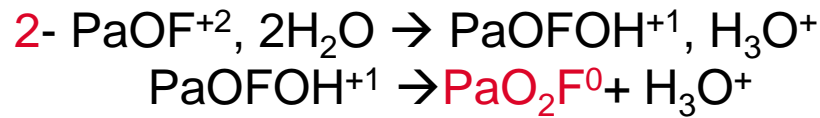
$\text{PaF}_6, \text{H}_2\text{O}$

	N	ΔH^L
PaF_8^{-3}	8	
PaF_7^{-2}	7	
$\text{PaF}_6^{-1} \rightarrow 1 \text{ H}_2\text{O}$	7	
$\text{PaF}_5^0 \rightarrow 1 \text{ H}_2\text{O}$	6	-62
$\text{PaF}_4^{+1} \rightarrow 3 \text{ H}_2\text{O}$	7	
$\text{PaOF}_5^{-2} \rightarrow 1 \text{ H}_2\text{O}$	7	
$\text{PaOF}_4^{-1} \rightarrow 1 \text{ H}_2\text{O}$	6	
$\text{PaOF}_3^0 \rightarrow 3 \text{ H}_2\text{O}$	7	
$\text{PaOF}_2^{+1} \rightarrow 2 \text{ H}_2\text{O}$	5	
$\text{PaOF}^{+2} \rightarrow 2 \text{ H}_2\text{O}$	4	
$\text{PaO}_2\text{F}^0 \rightarrow 2 \text{ H}_2\text{O}$	5	-52
$\text{PaO}_3\text{F}^{-2} \rightarrow 2 \text{ H}_2\text{O}$	6	



ION DANS 96 MOLÉCULES D'EAU

$$\Delta H_F = H(PaO_nF_m) - H(Pa^{mét}) - \frac{1}{2} H(O_2^g) - H(F^g) \quad (P=0, T=298 \text{ K})$$

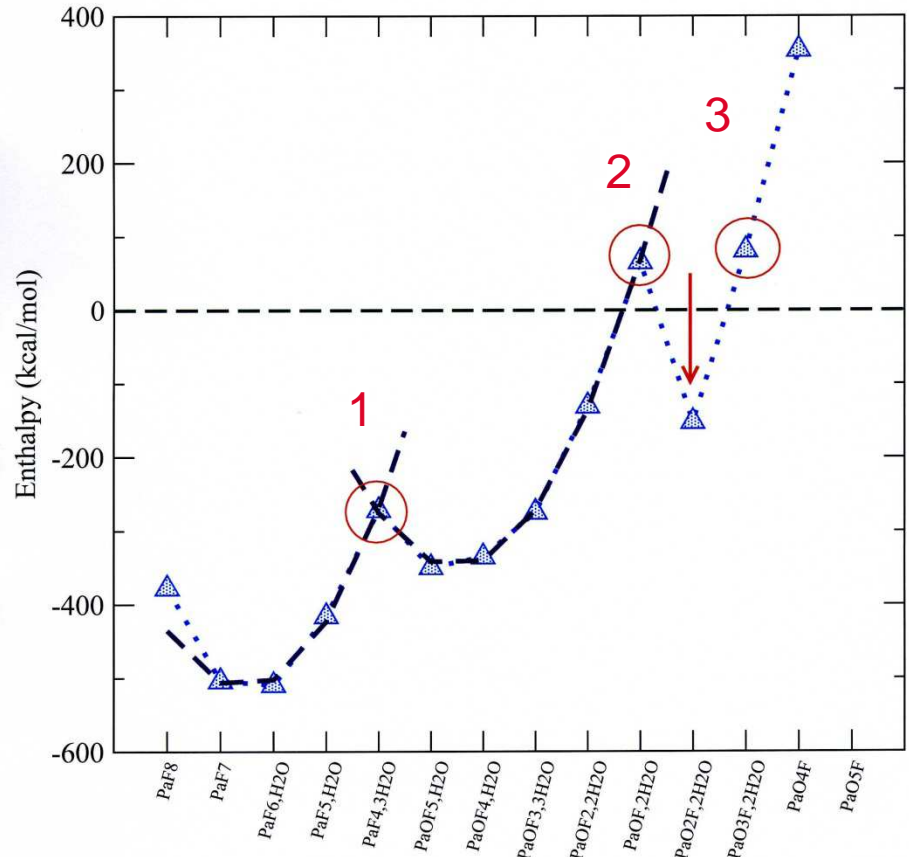


→ hydroxydes

PaF_7 ; PaF_6, H_2O ; PaF_5, H_2O

$PaOF_5, H_2O$; $PaOF_4, H_2O$; $PaOF_3, H_2O$; $PaOF_2, 2H_2O$; $PaOF, 2H_2O$

$PaO_2F, 2H_2O$ et PaF_4OH^0



CAS DU FLUORURE PAO₂F, 2H₂O

Actinyls

(UO₂²⁺, NpO₂⁺, ...) → ions dioxo
 PaO₂⁺ n'existe pas → seul ion oxo PaO³⁺

liaison *trans* UO⁴⁺

HOMO U 5f	$z_{(5z^2-4r^2)}$, 6d _z ² , 7s, 7p	+ O 2p _z
HOMO 1 U 5f		+ O 2p _y
HOMO 2 U 5f		+ O 2p _x

PaO³⁺

Pa 5f	$z_{(5z^2-4r^2)}$, 6d _z ² , 7s	+ O 2p _z
Pa 5f, 6d _{yz}		+ O 2p _y
Pa 5f, 6d _{xz}		+ O 2p _x

→ Orbitale anti-liante Pa 6d_{xz} + O 2p_x → déstabilisation du dioxo

Hypothèse PaO₂F, 2H₂O: Fluor en position *cis* modifie la liaison chimique
 → Pa 6d_{xz} *n'intervient plus dans la liaison Pa – O*
 → DOS